

EXEMPLE D'APPLICATION BATCHREACTOR
REACTEUR AVEC REACTIONS CATALYTIQUES
HETEROGENES

		INTERET DE L'EXEMPL	.E	
L'intérêt principal de cet exemple réside dans la simulation d'un jeu de trois réactions catalytiques hétérogènes. Ces réactions suivent le formalisme de Langmuir-Hinshelwood.				
DIFFUSION	☑ Libre Internet	Réservée clients	Restreinte	Confidentielle
FICHIER BATCHRE	ACTOR CORRESPONDANT	BATCHREA_EX_FR-Re	eactions-de-Langmuir.	obpr

Il est rappelé au lecteur que ce cas d'utilisation est un exemple et ne doit pas être utilisé à d'autres fins. Bien que cet exemple soit basé sur un cas réel il ne doit pas être considéré comme un modèle de ce type de procédé et les données utilisées ne sont pas toujours les plus exactes disponibles. Fives ProSim ne pourra en aucun cas être tenu pour responsable de l'application qui pourra être faite des calculs basés sur cet exemple.

Energy

Page : 2 / 10

# **TABLE DES MATIERES**

1.	INTF	RODUCTION	3
2.	MEC	ANISME REACTIONNEL	3
3.	CON	STITUANTS	3
4.	MOE	DELE THERMODYNAMIQUE	4
5.	MOD	DELE CINETIQUE	4
6.	IMPL	EMENTATION DU MODELE CINETIQUE EN UTILISANT SIMULIS REACTIONS	5
7.	SIMU	JLATION	6
	7.1.	Description du procédé	6
		7.1.1. Réacteur	6
		7.1.2. Mode opératoire	7
	7.2.	« Astuces »	7
	7.3.	Résultats	8
8.	BIBL	IOGRAPHIE	10
9.	NON	IENCLATURE	10

Version : Mars 2025 Page : 3 / 10

## 1. Introduction

Le schéma réactionnel est constitué de trois réactions catalytiques hétérogènes, certaines étant consécutives, d'autres parallèles. Le formalisme de Langmuir-Hinshelwood est utilisé pour modéliser les lois de vitesse. Le solvant utilisé est le n-dodécane.

## 2. MECANISME REACTIONNEL

La réaction de synthèse du B\_IV à partir du A\_IV est la réaction principale (R1). Il s'agit d'une réaction réversible mais non-équilibrée. La réaction secondaire (R2) dégrade le B\_IV en C\_IV. La dernière réaction (R3) consomme du réactif A\_IV pour former du D\_IV au détriment du produit désiré B\_IV.

$$A\_IV \stackrel{(R1)}{\Longleftrightarrow} B\_IV \stackrel{(R2)}{\Longrightarrow} C\_IV$$

$$A\_IV \stackrel{(R3)}{\Longrightarrow} D\_IV$$

### 3. CONSTITUANTS

Les constituants pris en compte dans la simulation sont les suivants :

Nom	Numéro CAS <sup>1</sup>
A_IV	55000-01-6
B_IV	55000-02-7
C_IV	55000-03-8
D_IV	55000-04-5
n-dodécane <sup>(*)</sup>	112-40-3

Le constituant suivi d'un astérisque provient de la base de données standard de Simulis Thermodynamics, serveur de calculs de propriétés physico-chimiques et d'équilibres entre phases utilisé dans BatchReactor. Les propriétés thermodynamiques stockées dans cette base de données sont issues de la base DIPPR [ROW23].

Les autres constituants ont été créés en utilisant la fonctionnalité « Cloner ce constituant » dans Simulis Thermodynamics. Le réactif A\_IV est assimilé à de l'alcool benzylique (numéro CAS¹ : 100-51-6), le produit désiré B\_IV à du o-crésol (numéro CAS¹ : 95-48-7) et les produits secondaires C\_IV et D\_IV sont assimilés respectivement à du m-crésol<sup>0</sup> (numéro CAS : 108-39-4) et du p-crésol¹ (numéro CAS : 106-44-5). Seuls les noms spécifiques et les numéros CAS¹ (numéro arbitraire) ont été modifiés par rapport aux constituants issus de la base de données.

Copyright © 2025 Fives ProSim, Labège, France -Tous droits réservés

<sup>&</sup>lt;sup>1</sup> CAS Registry Numbers® are the intellectual property of the American Chemical Society and are used by Fives ProSim SAS with the express permission of ACS. CAS Registry Numbers® have not been verified by ACS and may be inaccurate.

Version : Mars 2025 Page : 4 / 10

# 4. MODELE THERMODYNAMIQUE

Le réacteur est modélisé comme étant monophasique liquide (§ 7), ainsi aucun équilibre liquide-vapeur n'est pris en compte. Le profil thermodynamique « Idéal » est alors sélectionné dans Simulis Thermodynamics.

### 5. MODELE CINETIQUE

La cinétique de transformation du A\_IV en B\_IV (R1) est modélisée par la loi de Langmuir-Hinshelwood suivante :

$$r_1 = \frac{k_1 exp\left(-\frac{E\,a_1}{RT}\right)\left([A\_IV] - \frac{[B\_IV]}{K_1}\right)}{\left(1 + K_{A\_IV}[A\_IV] + K_{B\_IV}[B\_IV]\right)^1}$$

La cinétique de transformation du B\_IV en C\_IV (R2) est modélisée par la loi de Langmuir-Hinshelwood suivante :

$$r_{2} = \frac{k_{2}exp\left(-\frac{Ea_{2}}{RT}\right)[B_{IV}]}{\left(1 + K_{A_{IV}}[A_{IV}] + K_{B_{IV}}[B_{IV}]\right)^{1}}$$

La cinétique de transformation du A\_IV en D\_IV (R3) est modélisée par la loi de Langmuir-Hinshelwood suivante :

$$r_{3} = \frac{k_{3}exp\left(-\frac{E\alpha_{3}}{RT}\right)[A\_IV]}{\left(1 + K_{A\_IV}[A\_IV] + K_{B\_IV}[B\_IV]\right)^{1}}$$

Le tableau suivant présente les paramètres de ces réactions.

Réaction	$k_i$ (S <sup>-1</sup> )	$Ea_i$ (cal/mol)	K <sub>i</sub> (-)
(R1)	1 738,15	6 706	$K_1 = exp\left(-12,3245 + \frac{5412,427}{T}\right)$
(R2)	5,977	4 672	-
(R3)	174 048	13 442,8	-

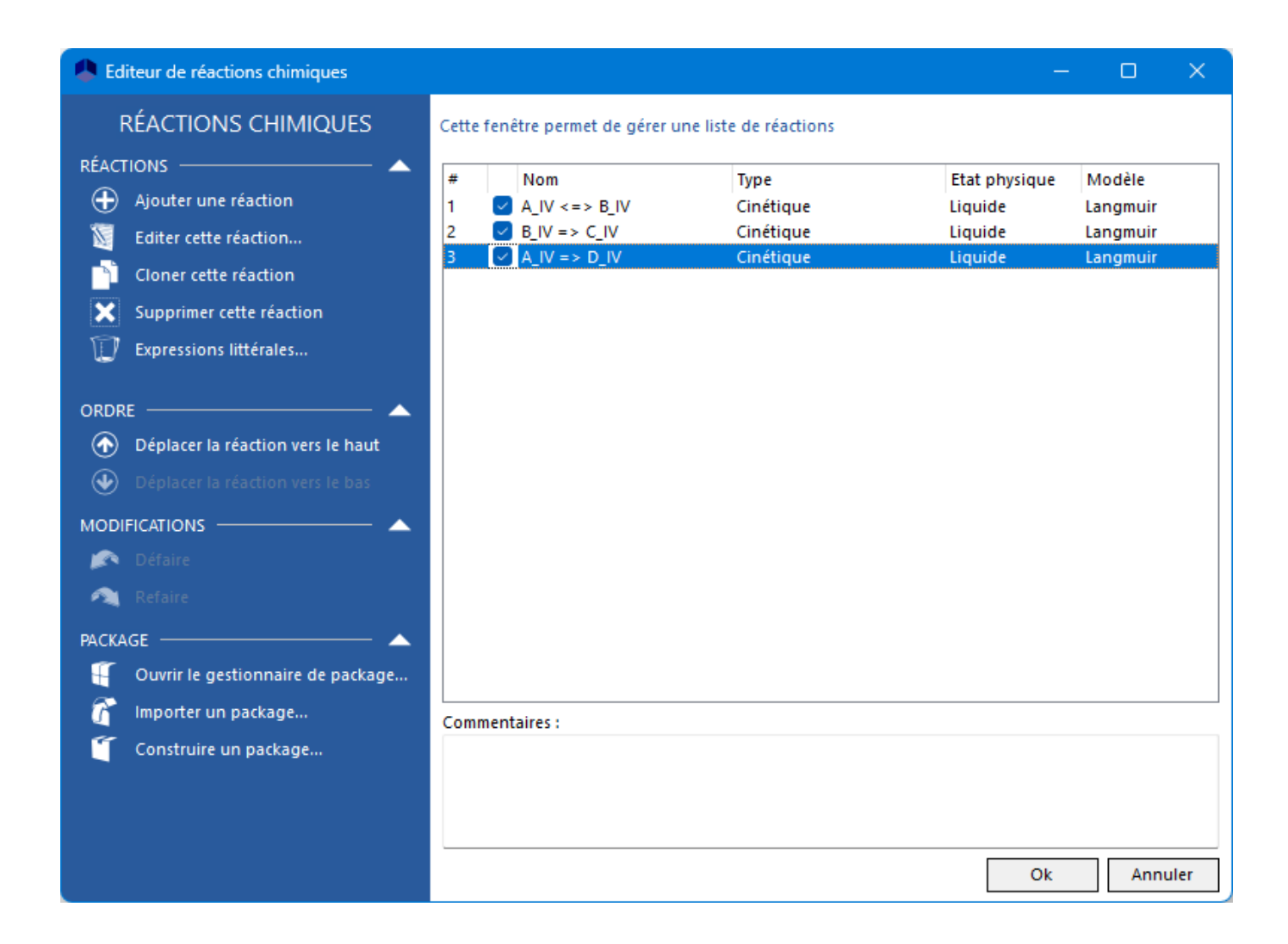
Les constantes d'adsorption s'expriment ainsi :

$$K_{A\_IV} = 1,76643.10^{-5} exp\left(\frac{8365,2\ cal/mol}{RT}\right)$$

$$K_{B\_IV} = 1,704239.10^{-3} exp\left(\frac{4780,15\ cal/mol}{RT}\right)$$

## 6. IMPLEMENTATION DU MODELE CINETIQUE EN UTILISANT SIMULIS REACTIONS

Les trois réactions présentées dans les paragraphes 2 et 0 ont été décrites dans Simulis Reactions, comme illustré dans l'écran ci-dessous.



Ces trois réactions suivent le formalisme disponible pour la loi de Langmuir-Hinshelwood. Elles sont donc décrites dans l'interface standard de Simulis Reactions.

Toutes les réactions ont lieu en phase liquide.

La chaleur de réaction de chaque réaction est calculée à partir des enthalpies standards de formation.

Version: Mars 2025 Page: 6 / 10

## 7. SIMULATION

#### 7.1. Description du procédé

### 7.1.1. Réacteur

Le réacteur modélisé pour la mise en œuvre de cette synthèse est un réacteur monophasique liquide. Aucun système de chauffage/refroidissement n'est décrit. La quantité de chaleur nécessaire pour maintenir le réacteur isotherme sera calculée par BatchReactor. Le réactif, le solvant et le catalyseur sont présents dans la charge initiale, il n'y pas d'alimentation.

Les conditions initiales sont présentées ci-dessous :

Conditions initiales		
Température	60°C	
Pression	1 atm	
Charge initiale		
Masse totale	100 kg	
A_IV	50% pds.	
n-dodécane	50% pds.	

Les alarmes sont les suivantes :

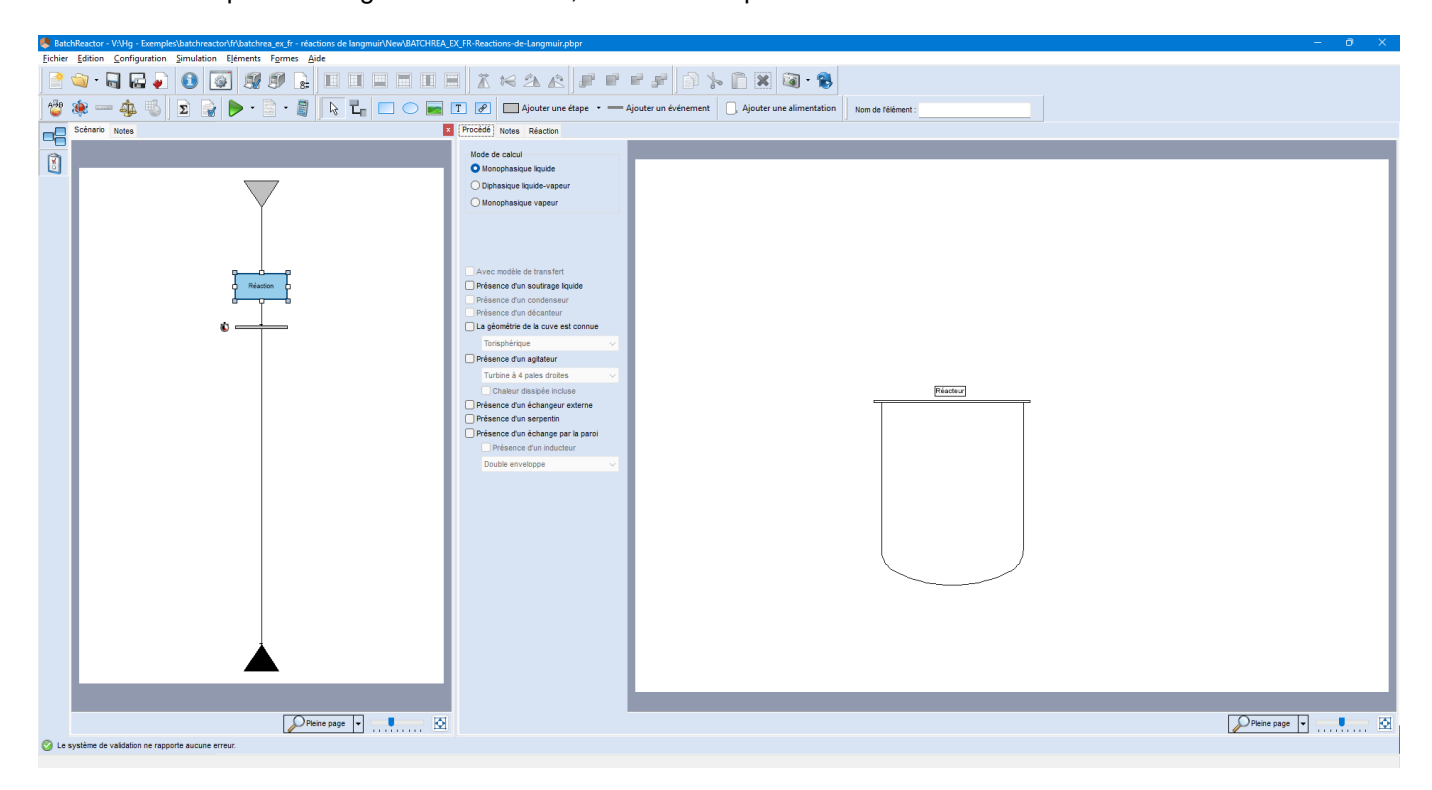
	Volume	Température
Minimum	11	0°C
Maximum	1 000 I	100°C

## 7.1.2. Mode opératoire

Le mode opératoire est constitué d'une unique étape de réaction isotherme. Les paramètres apparaissent dans le tableau suivant :

Paramètre	Etape
Туре	Température du réacteur fixée
Température du réacteur	60°C
Pression du réacteur	1 atm
Evènement marquant l'arrêt	Temps écoulé depuis le début de l'étape = 1 h

Le scénario est présenté à gauche de l'écran, et le schéma procédé sur la droite.

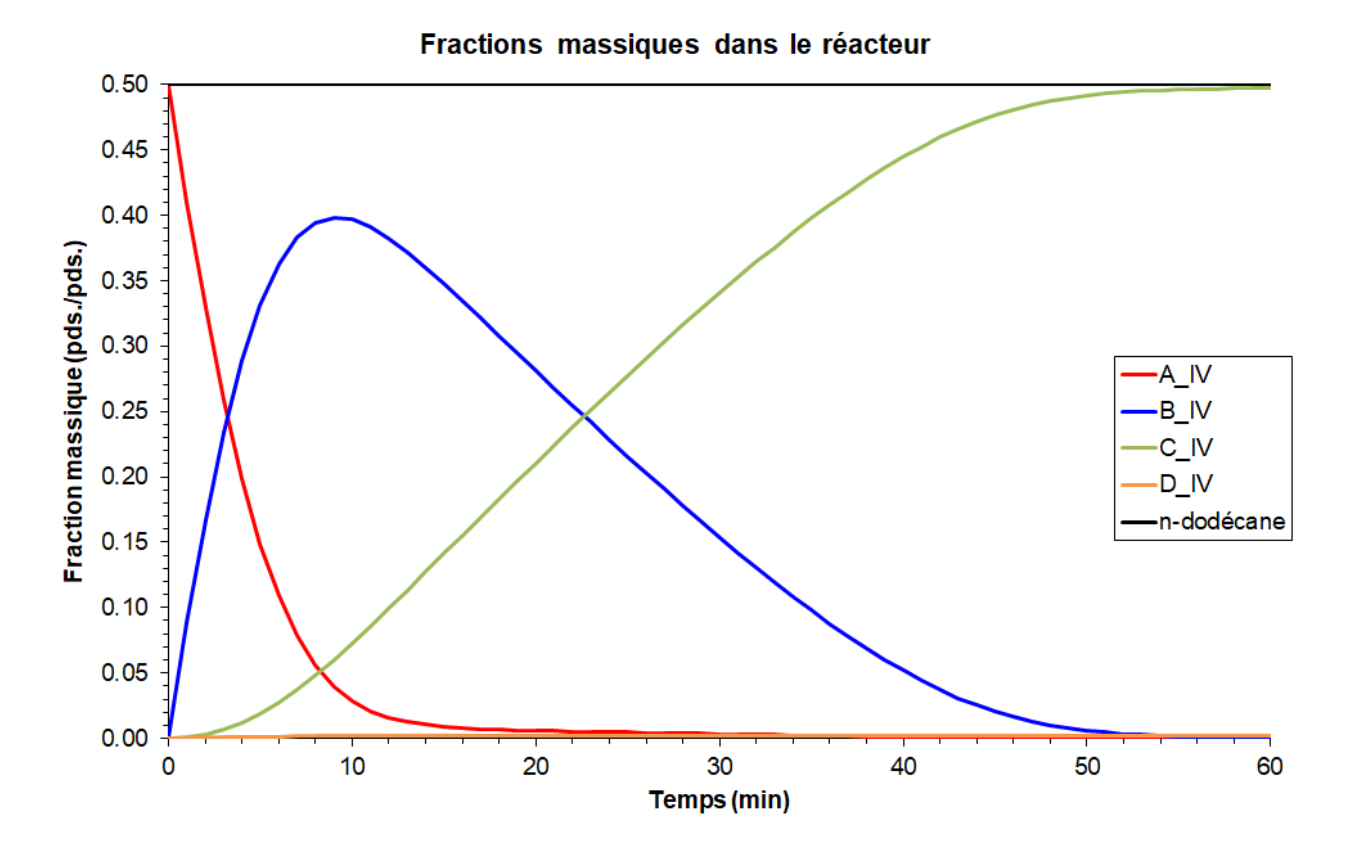


#### 7.2. « Astuces »

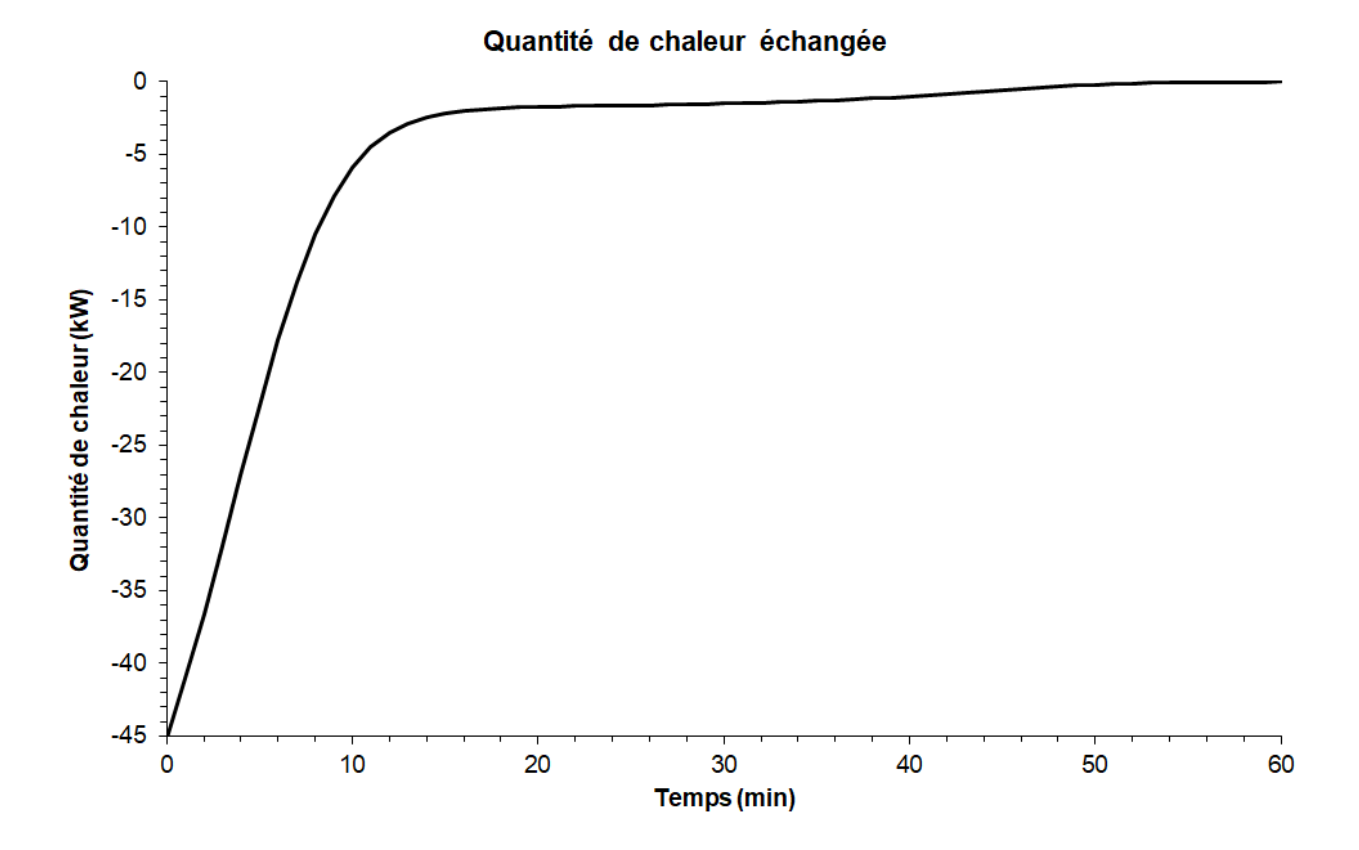
Pour obtenir des profils plus « lisses », l'intervalle de temps entre chaque impression peut être réduit à 60 s (au lieu de la valeur par défaut fixée à 600 s), dans la fenêtre « Paramètres du rapport ».

## 7.3. Résultats

La figure suivante montre l'évolution des fractions massiques dans le réacteur. La teneur en A\_IV ne fait que décroitre car il est consommé par deux réactions : synthèse du B\_IV (R1) et du D\_IV (R3). La réaction réversible du B\_IV vers le A\_IV ne compense pas sa consommation. La teneur en B\_IV croît tant que sa production par la réaction (R1) est supérieure à sa consommation par la réaction (R2) puis diminue après, présentant ainsi un maximum. La teneur en C\_IV ne fait que croitre car il n'est que produit par la dégradation du B\_IV (R2). Le teneur en D\_IV présente également un maximum : croissance tant que le A\_IV est présent puis diminution suite au ralentissement de la production (R3) par l'épuisement du A\_IV. La réaction (R3) reste minoritaire dans cette synthèse.



La figure ci-dessous montre l'évolution de la quantité de chaleur à évacuer pour maintenir le fonctionnement isotherme du réacteur à la température de 60°C. Elle diminue quand la production de B\_IV diminue.



Page: 10 / 10

## 8. BIBLIOGRAPHIE

Version: Mars 2025

[ROW23] ROWLEY R.L., WILDING W.V., OSCARSON J.L., GILES N.F., "DIPPR® Data Compilation of Pure Chemical Properties", Design Institute for Physical Properties, AIChE (2023)

# 9. NOMENCLATURE

[i]	Concentration du constituant i	mol.l <sup>-1</sup>
$Ea_i$	Energie d'activation de la réaction $r_i$	cal/mol
$k_i$	Facteur pré-exponentiel de la réaction $r_i$	s <sup>-1</sup>
$K_{A\_IV}$	Constante d'adsorption du A_IV	I.mol <sup>-1</sup>
$K_{B\_IV}$	Constante d'adsorption du B_IV	I.mol <sup>-1</sup>
$K_i$	Constante d'équilibre de la réaction $r_i$	(-)
R	Constante des gaz parfaits	cal.mol <sup>-1</sup> .K <sup>-1</sup>
$r_i$	Vitesse de la réaction i	mol.l <sup>-1</sup> .s <sup>-1</sup>
T	Température	K